

F-9118.- Dolomías tableadas (unidad 2). Muschelkalk.



F-9119.- Yesos blancos (unidad 1) del Keuper.



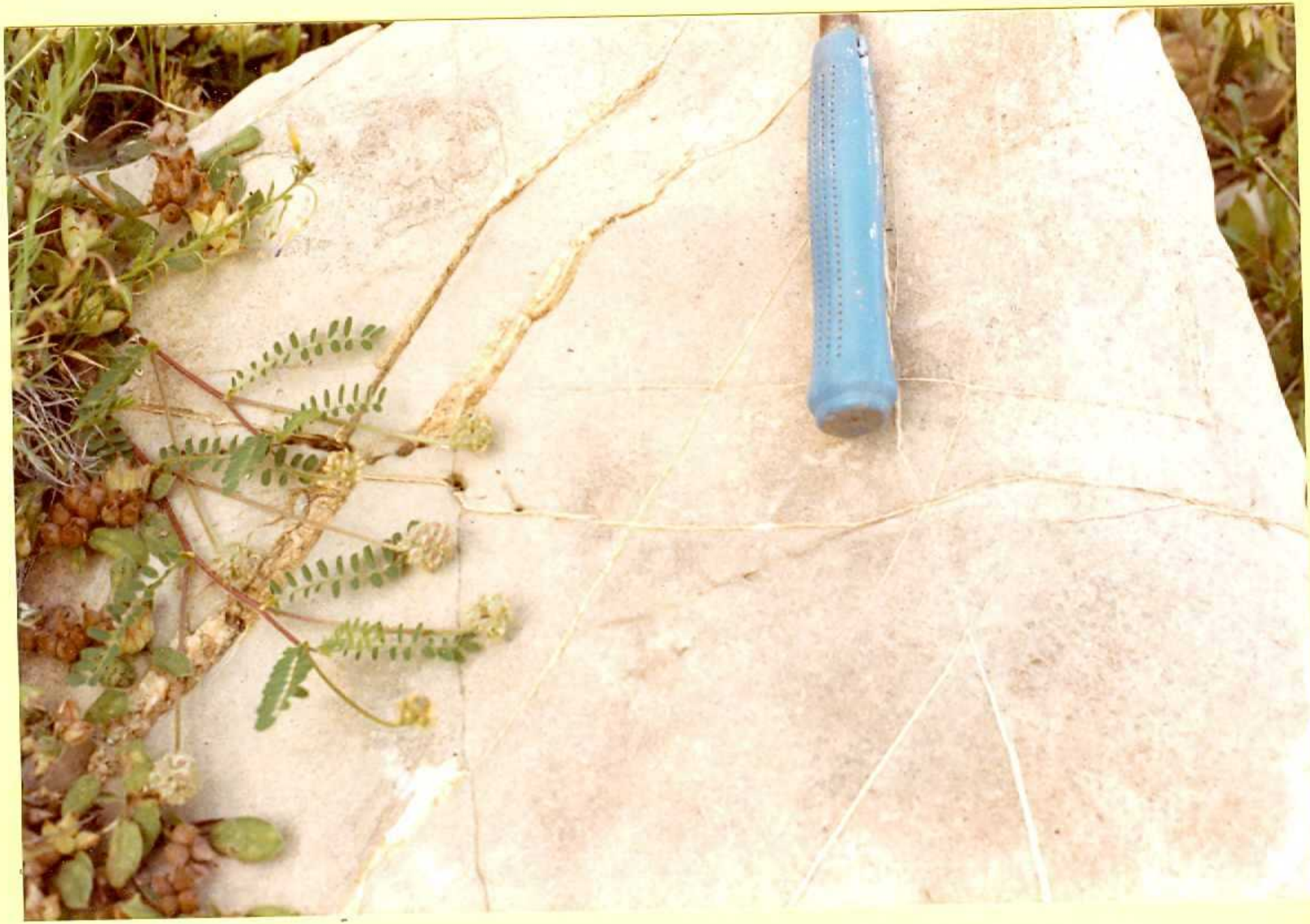
F-9120.- Ofitas (unidad 3).



F-9121.- Jurásico de Peña Arpada.



F-9122.- Calizas arcillas y margas (Unidad 14) en el Puerto del Algarrobo.



F-9123.- Calizas de Microcodium (Unidad 18).



F-9124.- Calizas y arcillas (Unidad 15).



F-9125.- Arcillas con Tubotomaculum (Unidad 17).



F-9126.- Chondrites sobre Tubotomaculun (Unidad 17)



F-9127.- Arcillas con Tubotomaculum en el Puerto del Algarrobo.



F-9128.- Niveles de areniscas del Aljibe entre arcillas con Tubotomaculum en Peña Arpada.



F-9129.- Detalle de la foto anterior.



F-9130.- Areniscas del Aljibe entre arcillas con Tubotomaculum



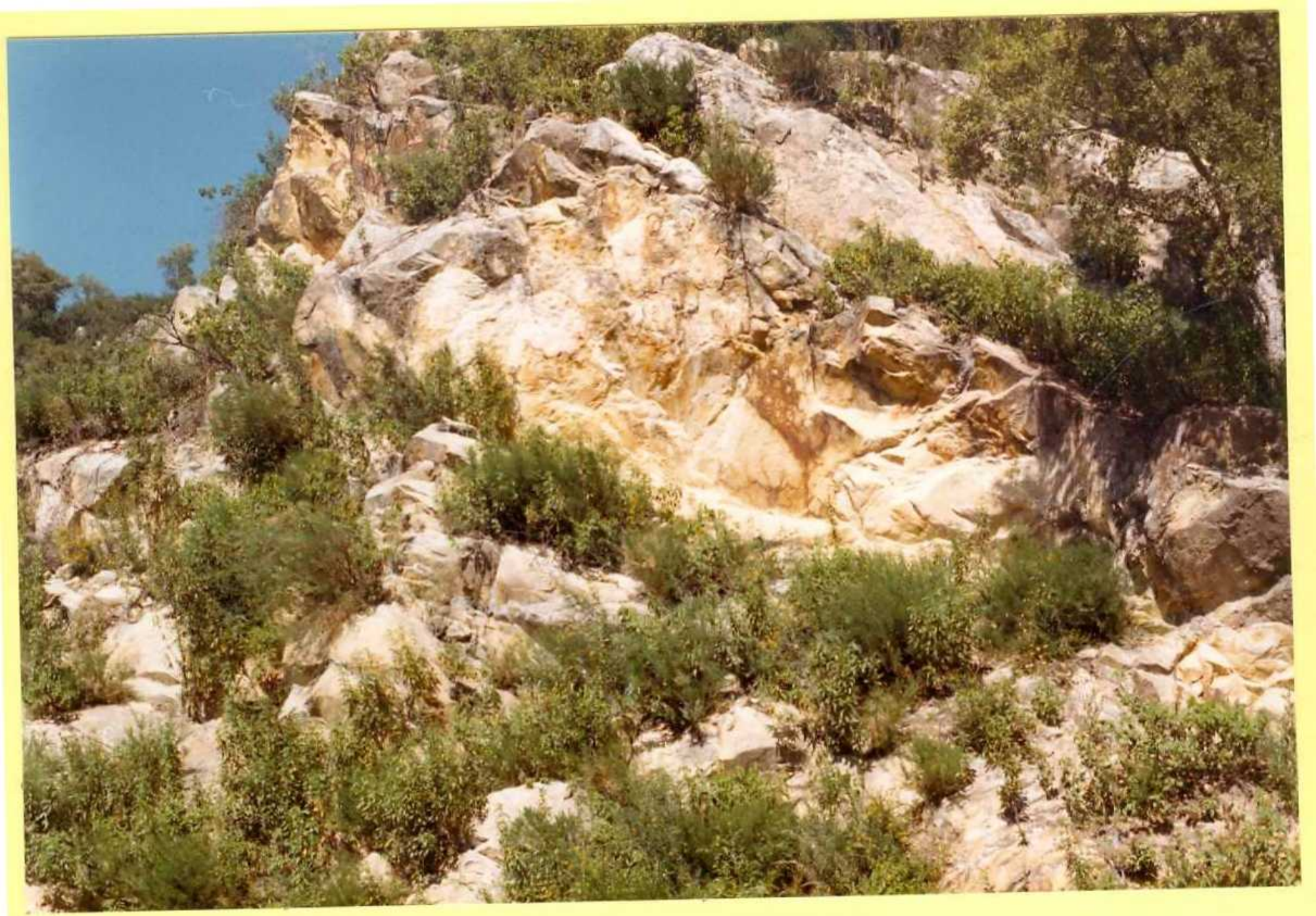
F-9131.- Bloque de calizas de Microcodium (U-18) entre arcillas con Tubotomaculum (U-17).



F-9132.- Base de un nivel de areniscas del Aljibe (U-16)



F-9133.- Areniscas del Aljibe (Unidad-16).



F-9134.- Areniscas del Aljibe (Unidad-16).



F-9135.- Detalle de la foto anterior.



F-9136.- Areniscas del Aljibe (Unidad-16).



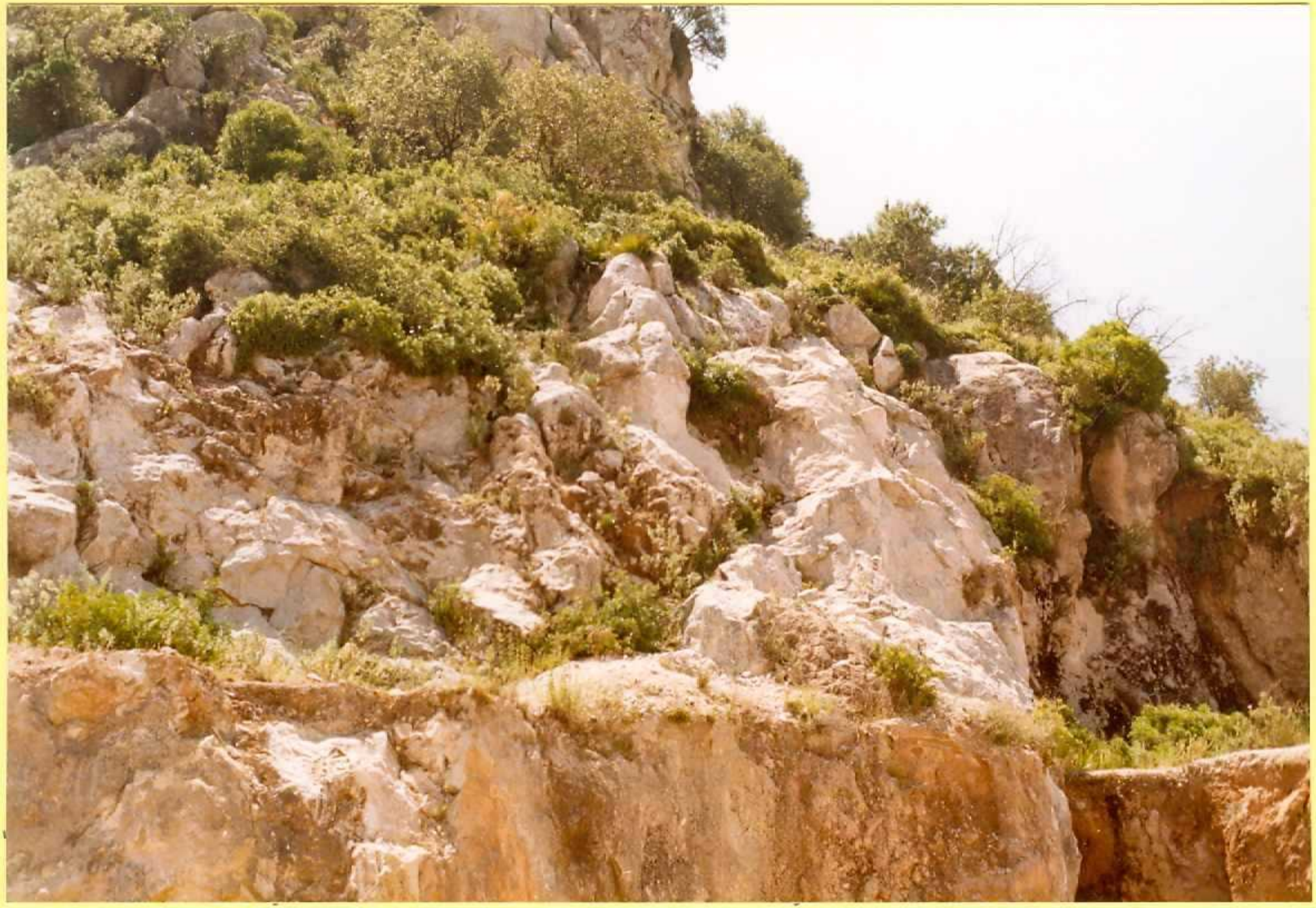
F-9137.- Areniscas del Aljibe en el Puerto de Galiz..



F-1938.- Detalle de la foto anterior.



F-9139.- Anticlinal de la Sierra de las Cabras.



F-9140.- Calizas y dolomias (U-5) en la Sierra del Valle.



F-9141.- Calizas tableadas del jurásico medio (U-6) en la Sierra del Valle.



F-9142.- Detalle de la foto anterior.



F-9143.- Calizas tableadas del Jurásico superior (U-7).



F-9144.- Calizas y margas blancas del Neocomiense (U-8).



F-9145.- Calizas y margas blancas (U-8) en la carretera del Valle



F-9146.- Calizas y margas rojas (U-10) en la loma de los Poyales



F-9147.- Aspecto de las calizas de la Unidad 10.



F-9148.- Aspecto de las margas rojas (U-10).



F-9149.- Margas y margocalizas con niveles turbidíticos del Eoceno (U-11).



F-9150.- Bioturbación en niveles turbidíticos (U-11).



F-9151.- Detalle de la foto anterior.



F-9152.- Serie del Eoceno Subbético en la Loma de los Poyales



F-9153.- Amalgamación sobre el término b de Bouma. (U-11).



F-9154.- Secuencia de Bouma tipo. Tbc/e (U-11).



F-9155.- Detalle de la misma secuencia.



F-9156.- Detalle del término c, ripples, en un corte transversal a la corriente (U-11).



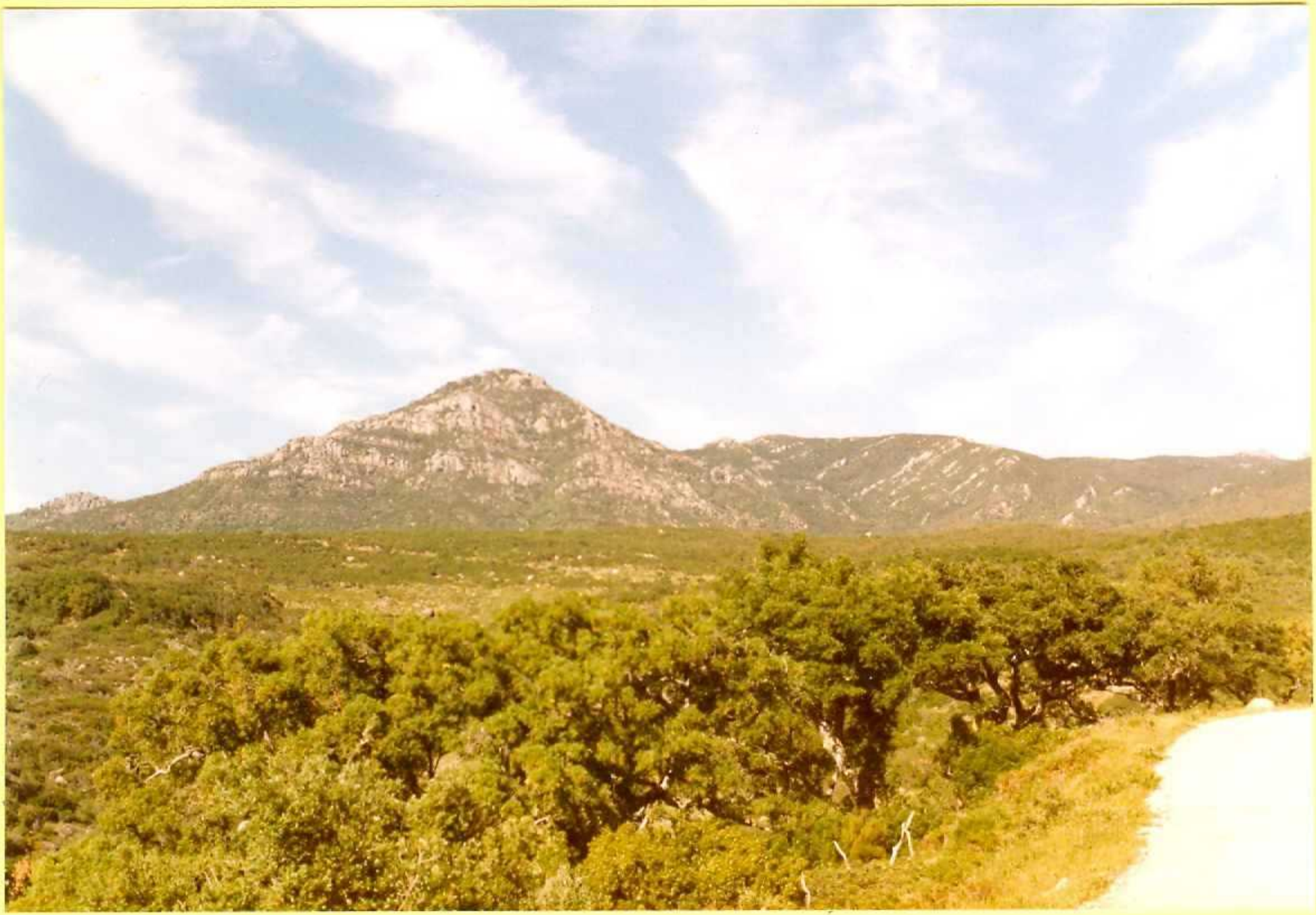
F-9157.- Mioceno superior postectónico en la Loma del Esparragal



F-9158.- Mioceno superior postectónico (U-22).



F-9159.- Detalle de la foto anterior



F-9160.- Sinclinal de la Sierra del Picarcho.



F-9161.- Cabalgamientos de 1ª fase en el arroyo de Pasada Blanca.



F-9162.- Sinclinal tumbado de la Sierra del Puerto



F-9163.- Coluviones de la Garganta de la Cierva.



F-9164.- Sinclinal de la Sierra de la Gallina.